

## ОПРЕДЕЛЕНИЕ ОЛОВА В ГЕОХИМИЧЕСКИХ СТАНДАРТНЫХ ОБРАЗЦАХ ПРЯМЫМ АТОМНО-ЭМИССИОННЫМ МЕТОДОМ

Н.Л. Чумакова, А.И. Кузнецова

Институт геохимии им. А.П. Виноградова СО РАН  
664033, Иркутск, Фаворского, 1а  
ninach@igc.irk.ru

Поступила в редакцию 30 марта 2001 г.

Рассмотрены возможные причины несовпадения результатов определения олова атомно-эмиссионным методом с дуговым возбуждением спектров и аттестованными содержаниями в стандартных образцах. Сделано предположение о неполном переводе олова в раствор при химическом разложении проб. Предлагаемая методика прямого метода анализа позволяет определять полное содержание Sn при величине относительного стандартного отклонения 0,15-0,25, что делает возможным использование этого способа инструментального анализа при аттестации стандартных образцов для геохимических исследований.

Чумакова Нина Львовна – кандидат физико-математических наук, старший научный сотрудник лаборатории оптического спектрального анализа и стандартных образцов Института геохимии СО РАН.

Область научных интересов: атомно-эмиссионный анализ горных пород, минералов, экологических объектов, контроль качества результатов спектрального анализа.

Автор 33 опубликованных работ, в том числе одной монографии.

Кузнецова Альбина Ивановна – кандидат физико-математических наук, старший научный сотрудник лаборатории оптического спектрального анализа и стандартных образцов Института геохимии СО РАН.

Область научных интересов: атомно-эмиссионный анализ минеральных проб и объектов окружающей среды, контроль качества результатов анализа.

Автор 130 опубликованных работ, в их числе три монографии.

### Введение

Определение олова в объектах геохимических исследований встречает определенные трудности, связанные прежде всего с проблемой вскрытия пробы и сложностью определения полного содержания олова, как рассеянного, так и имеющего собственную фазу. Поэтому для правильной оценки концентрации олова в геохимических образцах представляют интерес результаты прямых инструментальных методов или методов, основанных на переводе в раствор всего олова при разложении пробы. В работе [1] показано, что при анализе стандартных образцов G-1 и W-1 получены более высокие показатели содержания оло-

ва с использованием гидридного способа при разложении проб. Авторы считают, что в этом случае в раствор переходит все олово из пробы, а не только его силикатная составляющая. Авторами [2] при определении содержания олова в стандартных образцах серии USGS применялся метод искровой масс-спектрометрии, где градуирование происходит без привязки к стандартным образцам. Такие данные позволили авторам цитируемых работ сделать предположение о необходимости пересмотра содержания олова в земной коре в сторону его увеличения. Результаты, полученные нами при определении содержания олова в стандартных образцах атомно-эмиссионным ме-

тодом с дуговым источником возбуждения спектров [3]. в большинстве случаев оказались выше представленных в [4].

### Постановка задачи

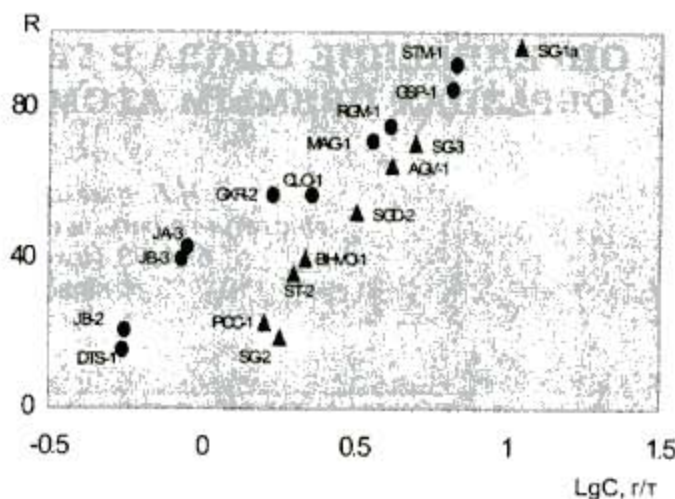
Атомно-эмиссионный метод с дуговым источником излучения позволяет определять олово, присутствующее в пробе в разных формах, т.е. полное содержание олова. Ограничениями метода являются недостаточные пределы обнаружения, влияние состава и неоднородности проб на результаты анализа. Эти ограничения могут проявляться в большом разбросе данных при аттестации стандартных образцов.

В используемой методике матричные влияния существенно снижены и предел определения олова (З $\sigma$  критерий) составляет 10 $^{-4}$ % [5]. Методика основана на усилении селективного испарения определяемого элемента в плазму дуги постоянного тока, стабилизированную потоком воздуха. Полное испарение олова из навески в электроде обеспечивается разбавлением проб в соотношении 1:1 модификатором (оксид алюминия: сульфид сурьмы: хлорид натрия = 8:1:1). При этом в канале электрода образуется кипящая гомогенизированная капля, из которой олово полностью испаряется в плазму дугового столба в течение 30 с. Результатом гомогенизации пробы является улучшение корреляции между интенсивностями линий определяемого элемента и внутреннего стандарта (Bi) в пробах разного состава: становится возможным градуирование по образцам сравнения, приготовленным введением оксида олова в природный кварц. Регистрация аналитического сигнала может производиться как фотографическим [5], так и фотоэлектрическим [6] способами. При использовании фотодиодных линеек анализатора Пульсар 7000, к сожалению, происходит ухудшение пределов обнаружения в области 280-320 нм, в которой находится аналитическая линия Sn 317.5 нм. Другие параметры методики не меняются.

Для оценки влияния неоднородности на результаты атомно-эмиссионного анализа были выполнены специальные исследования [7, 8]. Показано, что точность анализа, выраженная величиной относительного стандартного отклонения, изменяется в интервале 0.14-0.56 для геохимических проб, состав которых варьировался от кислых до ультраосновных пород. Максимальная погрешность неоднородности и максимальная общая погрешность анализа обнаруживаются для проб с высоким содержанием олова.

Используя метод атомно-эмиссионного ана-

лиза как с фотографической регистрацией сигнала, так и с помощью фотодиодных линеек, мы получили данные о содержании олова в некоторых сериях стандартных образцов. Данные с содержаниями менее 3.5·10 $^{-4}$ % получены только при фотографическом способе регистрации. Результаты исследований представлены на рисунке.



Зависимость величины аналитического сигнала ( $R$ ) от содержания олова ( $C$ ) для серий стандартных образцов USGS, JGS, IGI

Параметр  $R$  является отношением интенсивностей линий Sn и Bi в условных единицах, а  $C$  — содержания олова, указанные в [4]. Доверительные интервалы не представлены, чтобы не исказить качественную картину. Относительное стандартное отклонение находится в интервале 0.2-0.25. Как видно из рисунка, содержания олова в большинстве образцов GSJ и USGS согласованы между собой (обозначены кружками) и не согласуются с содержаниями серии IGI (на рисунке это треугольники). Мы предполагаем, что такое несоответствие возникает вследствие полного или неполного определения содержания олова различными инструментальными методами. В серии IGI содержание олова установлено атомно-эмиссионным методом с дуговым возбуждением, что предполагает полную атомизацию химических элементов в плазме при температуре 5000-6000 °C. В сериях GSJ и USGS олово определено различными инструментальными методами, для которых необходимо переведение пробы в раствор. Но для нескольких образцов серии USGS установленные содержания близки к результатам серии IGI. Такое совпадение может иметь различные причины. Стандартные образцы BHVO-1 и PCC-1 представляют собой базальт и перидотит соответственно. Для таких пород не возника-

ет проблем с химическим разложением проб [9], вследствие чего определяется все содержание олова в образце. Для андезита AGV-1 установлено повышенное содержание олова, при котором возрастает погрешность атомно-эмиссионного анализа из-за влияния неоднородности.

Исследования, результаты которых представлены на рисунке, позволяют предположить, что с уменьшением содержания олова в образцах должна расти доля этого элемента, которая не поддается вскрытию. О возможностях и ограничениях инструментальных методов при анализе различных форм олова подробно говорится в работе [10]. Авторы указывают, что метод прямого рентгенофлуоресцентного анализа дает более высокие содержания олова в образцах, чем методы, в которых используются химические методики разложения проб.

Мы предполагаем, что олово, не переходящее в раствор при вскрытии проб обычными химическими методами, представляет собой микрочастицы, образованные молекулами оксида олова или, как описано в [11], сорбированные на дефектах кристаллических решеток. Возможно, что такого типа микрообразования методами мокрой химии не разлагаются, но легко разрушаются под воздействием высокой температуры дуговой плазмы, где и происходит процесс диссоциации молекул и полная атомизация химического элемента. Косвенным подтверждением наших предположений могут служить результаты проведенного нами эксперимента, в котором получены данные о содержании олова при различных способах подготовки проб.

### Экспериментальная часть

Было использовано два метода разложения стандартного образца почвы GXR-2 по методикам, предложенными в [12, 13]. Один из способов – это сплавление с иодидом аммония. В табл. 1 представлены результаты атомно-эмиссионного определения олова из плава GXR-2, из этой же пробы, озоленной при 550° С. и из образца, не подвергнутого никакой обработке.

Таблица 1

Результаты атомно-эмиссионного определения олова в стандартном образце почвы GXR-2 ( $10^{-4}$  %)

Аттестованные	Плав почвы	Зола почвы	Почва
1.7*	$1.7 \pm 0.3$	$2.9 \pm 0.4$	$3.2 \pm 0.5$

\* Предварительные результаты [4].

Оценивая данные табл. 1, можно сделать вывод, что применение иодида аммония в данном

опыте привело к потере части определяемого элемента.

Другим методом вскрытия пробы было кислотное разложение. В работе [12] предложена методика, предназначенная для большой группы элементов. Мы специально воспроизвели этот способ разложения, который скорее всего не подходит для полного выделения олова, т.к. часть пробы остается в виде осадка. Полученный осадок анализировали атомно-эмиссионным методом, а водный раствор, полученный после резэкстракции олова бензолом, анализировали атомно-абсорбционным (аналитик Склярова О.А.) и атомно-эмиссионным методами. В табл. 2 представлены данные с учетом холостого опыта. Обработка результатов атомно-эмиссионного метода проведена по 4 измерениям.

Таблица 2

Сравнение результатов определения олова в стандартном образце почвы GXR-2 различными методами ( $10^{-4}$  %)

Метод Обычн	АД	АЭА	AA[14]	HYAA[13]	ICP[15]
Раствор	0.6	$2.1 \pm 0.9$	0.9	1.7	1.1
Осадок	-	$1.3 \pm 0.2$	-	-	-

Прочерк – данные отсутствуют

Как видно из табл. 2, в осадке остается сопоставимая с перешедшей в раствор часть олова, а результаты атомно-эмиссионного способа (дугового и индукционно-связанной плазмы) выше, чем атомно-абсорбционного. Можно предположить, что в стандартном образце GXR-2 часть олова находится в форме, не взаимодействующей с кислотами, а источник атомизации в варианте атомной абсорбции, по-видимому, недостаточно мощный для перевода в атомное состояние всего олова, перешедшего в раствор. Кроме того, потери олова возможны в виде летучего хлористого олова или при взаимодействии с материалом химической посуды во время процедуры вскрытия пробы [16].

В табл. 3 приведены результаты атомно-эмиссионного определения олова в стандартных образцах ( $S \leq 0.25$ ), а для серии GXR-1-6 представлены данные метода ICP-MS [17, 18], которые хорошо согласуются с полученными нашим методом.

Как видно из табл. 3, в стандартных образцах серий GSS и GSD (Китай), рекомендованных к использованию Программой геохимического картирования [19], результаты определения олова методом атомной эмиссии с фотографической и фотодиодной регистрацией аналитического сигнала хорошо совпадают с аттестованными содер-

жаниями. При аттестации серии стандартов IGGE (Китай), в которую входят и указанные в

табл. 3, широко использовался прямой атомно-эмиссионный метод с дуговым возбуждением.

**Таблица 3**  
Содержание олова в стандартных образцах ( $10^4 \%$ ), определенное атомно-эмиссионным методом с дуговым возбуждением

Стандартный образец	Аттестованные содержания	Регистрация сигнала		ISP-MS [17,18]
		Фотографическая	Диодная линейка	
SG-2	1,8	$1,2 \pm 0,2$		
SGD-2	3,2	$3,0 \pm 0,6$		
ST-2	2,0	$2,0 \pm 0,3$		
SG-3	5	$5,6 \pm 0,6$	$5,1 \pm 0,9$	
SG-1A	12	$14 \pm 1,8$	$13 \pm 2,3$	
GXR-1*	54	$56 \pm 23$	$62 \pm 18$	58,5
GXR-2	1,7	$2,7 \pm 1,1$		1,5
GXR-3	5,6	$9,8 \pm 3,2$	$10 \pm 2,5$	9,0
GXR-4	2,0	$3,2 \pm 0,5$		3,4
GXR-5	2	$2,9 \pm 0,3$		2,8
GXR-6	1,7	$2,5 \pm 0,5$		
GSD-2	29	$30 \pm 6,3$	$28 \pm 6,4$	
GSD-7	5,4	$5,8 \pm 1,2$	$6,5 \pm 1,4$	
GSD-12	54	$58 \pm 13,3$	$49 \pm 11,3$	
GSR-1	12,5	$12 \pm 2,4$	$14 \pm 2,8$	
GSS-1	6,1	$6,2 \pm 1,3$	$8,7 \pm 2,2$	
GSS-5	17,7	$19 \pm 4,6$	$13 \pm 2,9$	
GSS-6	72,4	$72 \pm 14$	$78 \pm 16$	
JR-1	2,7	$3,6 \pm 0,5$	$3,6 \pm 0,5$	

\*Данные получены без использования элемента сравнения, так как в образце (джаспероид) содержится повышенное содержание Ви.

## Выводы

Полученные нами результаты исследований позволяют предположить:

1. Несогласованность содержаний олова, установленных методами с химическим разложением и прямыми методами, вероятно, связана с не-полнотой извлечения олова. Особенно это относится к образцам с низкими содержаниями этого элемента.

2. Метод атомно-эмиссионного анализа с дуговым возбуждением спектров, имеющий с учё-

том неоднородности величину относительного стандартного отклонения 0,15-0,25, можно использовать как прямой метод при аттестационных анализах геохимических проб, в частности при определении содержаний олова.

3. Способ атомно-эмиссионного анализа с фотодиодной регистрацией аналитического сигнала вполне может заменить широко применяемую в геологии фотографическую регистрацию спектров при сохранении существующих методик анализа.

## ЛИТЕРАТУРА

- Hall A. The determination of total tin content of some geological materials by atomic absorption spectrometry // Chemical geology. 1980. V.30. P.135-142.
- Taylor S.A., McLennan S.M. Geochemical application of spark-source mass spectrography. IV. The crystal abundance of tin // Chemical Geology. 1983. V.39. P.273-280.
- Kuznetsova A.I., Chumakova N.L. Determination of trace abundance of Ag, B, Ge, Mo, Sn, Tl and W in geochemical reference samples by atomic emission spectrography // Geostand.News. 1989. V.13. P.269-272.
- Govindaraju K. 1994 compilation of working value and samples description for 383 geostandardas // Geostand. Newsletter. Special issue. 1994. V.18. P.158.

5. Кузнецова А.И., Чумакова Н.Л. Выбор условий и оценка метрологических характеристик совместного определения Ag, В, Cu, Ga, Ge, Mo, Pb, Sn, Ti и Zn в геологических материалах методом атомно-эмиссионной спектрографии // ЖАХ . 1988. Т.43, № 12. С.2183-2190.
6. Чумакова Н.Л., Куклин Е.А. Возможности анализатора спектров "Пульсар7000" в многоэлементном атомно-эмиссионном анализе с дуговым источником излучения // Заводская лаборатория. 1996, № 9. С.30-31.
7. Кузнецова А.И., Чумакова Н.Л. Оценка влияния неоднородности минеральных проб на результаты атомно-эмиссионного анализа / ЖАХ. 1990. Т.45, № 2. С.301-308.
8. Смирнова Е.И., Кузнецова А.И., Чумакова Н.Л. Атомно-эмиссионный анализ в геохимии. Новосибирск: Наука, 1993. 226 с.
9. Полуэктов Н.С. Метод анализа фотометрией пламени. М.: Химия, 1987. 307 с.
10. Kane J.S., Evans J.R., Jackson J.C. Comparison of several analytical methods for the determination of tin in geochemical samples as a function of tin speciation // Chemical Geology. 1989. V.78. P.1-14.
11. Таусон В.Л. Изоморфизм и эндокриптия: новые подходы к изучению поведения микрозлементов в минеральных системах//Геология и геофизика. 1999. Т.40, №10. С.1488-1494.
12. Terashima S., Ando A. Element concentration in nine new Japanese rock reference samples // Geostand. News. 1987. V.11. P.75-77.
13. Gladwell D., Thompson I.M., Wood S. The determination of cassiterite tin in soils and sediment by an atomic absorption - volatile hydride method // J. of Geochemical exploration. 1981. V.16. P.41-48.
14. Terashima S. Determination of trace amounts of tin in seventy-three geochemical reference samples by atomic absorption spectrometry // Geostand. News. 1982. № 6. P.77-82.
15. Pahlavapour B., Thompson M., Walton S. The determination of tin in geochemical samples by inductively coupled plasma atomic emission spectrometry // J. of Geochemical Exploration. 1979. №12. P.45-55.
16. Бок Р.А. Методы разложения в аналитической химии. М.: Химия, 1984. 428 с.
17. Date A., Hutchinson L. The determination of trace elements in geochemical exploration samples by ICP-MS // Spectrochim. Acta, Part B. 1986. V. 41. P.175-191.
18. Gladney E., Roelandts I. 1988 compilation of elemental concentration data for USGS geochemical reference materials GXR-1 to GXR-6 // Geostand. News. 1990. V.14. P.21-118.
19. Recomendation for International Geochemical Mapping Final Report of IGCP Project 259 / A.E.Darney et.al. Ottawa: UNESCO Publishing, 1995. 121 p.

\* \* \* \* \*